

УДК 531.533

Кусюмов А.Н., Кусюмов С.А.

### О НЕКОТОРЫХ ОЦЕНКАХ СПЕКТРАЛЬНЫХ ХАРАКТЕРИСТИК ТЕЧЕНИЯ ПРИ 3D ОБТЕКАНИИ КРУГОВОГО ЦИЛИНДРА

Для низких чисел Рейнольдса возможно проведение прямого численного моделирования обтекания цилиндра на основе решения уравнений Навье-Стокса [1, 2], или осреднённых по Рейнольдсу уравнений Навье-Стокса (URANS) с применением вихревых моделей турбулентности [3–5].

При исследованиях характеристик обтекания цилиндра в диапазоне низких значений числа Рейнольдса можно воспроизвести энергонесущий и инерционный интервалы спектра. При этом существуют два подхода к определению спектральных характеристик случайного сигнала, основанные на использовании быстрых преобразований Фурье (FFT): в области пространственных волновых чисел [6] и во временной области [7, 8].

В настоящей работе рассматривается задача численного моделирования нестационарного пространственного обтекания цилиндра для числа Рейнольдса  $Re = 3900$  на основе решения уравнений Навье-Стокса.

Численное моделирование проводилось с использованием кода ANSYS Fluent. Спектральные свойства потока анализировались с помощью MATLAB.

Для непрерывного (вещественного) сигнала  $u(t)$  энергия  $E$  в некоторой точке пространства определяется выражением

$$E = \int_{-\infty}^{\infty} u(t)^2 dt. \quad (1)$$

Преобразование Фурье для ограниченного во времени сигнала имеет вид [8]:

$$\hat{u}_T(f) = \int_{-T/2}^{T/2} u(t) e^{-2\pi i t f} dt. \quad (2)$$

С использованием (2) спектральная плотность энергии определяется выражением:

$$ESD = |\hat{u}(f)|^2. \quad (3)$$

С другой стороны из (1) следует, что энергия сигнала определяется интегралом от  $U(t) = u^2(t)$ . Поэтому наряду с выражениями (2), (3) для оценки энергетических свойств сигнала можно использовать функцию

$$ESS = |\hat{U}_T(f)|, \quad (4)$$

где

$$\hat{U}_T(f) = \int_{-T/2}^{T/2} U(t) e^{-2\pi i t f} dt. \quad (5)$$

Функции ESS и ESD используются далее для оценки энергетического спектра поперечной компоненты скорости потока в следе за круговым цилиндром по результатам численного моделирования. Расчётная область представляла собой прямоугольник с размерами  $20d \times 5d \times \pi d$ , где  $d$  – диаметр цилиндра. Расчетные гекса-сетки с количеством элементов около  $12 \cdot 10^6$  и  $17 \cdot 10^6$  построены в ANSYS ICEM.

По результатам численного моделирования можно приближённо оценить значение колмогоровского масштаба длины [9]:

$$\eta = \left( \frac{\nu^3}{\epsilon} \right)^{1/4}, \quad (6)$$

где  $\nu$  - коэффициент кинематической вязкости,  $\epsilon$  - скорость диссипации энергии турбулентности, которую можно выразить через величину интегрального масштаба  $L$ :

$$\epsilon \sim \frac{u_\tau^3}{\kappa L}, \quad (7)$$

где

$$u_\tau = (\tau_w / \rho)^{1/2}, \quad \tau_w = c_f \frac{\rho V_\alpha^2}{2}. \quad (8)$$

Здесь  $\tau_w$  и  $u_\tau$  определяют касательное напряжение и скорость трения,  $\rho$  - плотность жидкости (газа),  $c_f$  – коэффициент трения,  $\kappa = 0.41$  – постоянная Кармана. Из (6), (7) следует

$$\eta \sim L \frac{2(2\kappa^2)^{1/8}}{c_f^{3/8} \text{Re}^{3/4}}. \quad (9)$$

Полагая  $L \approx d/2$ , с учетом (8) получим

$$\eta = d \frac{(2\kappa^2)^{1/8}}{c_f^{3/8} \text{Re}^{3/4}}. \quad (10)$$

Вся область спектра турбулентного течения делится на три подобласти (см, например, [9]): область генерации энергии (большие вихревые структуры), инерциальный диапазон (средние размеры), область диссипации энергии (малые размеры).

В инерциальном диапазоне (для возмущений малого масштаба) энергетическая оценка пространственных компонент  $u_i$  вектора скорости течения определяется законом «-5/3» А.Н. Колмогорова [10]:

$$E_{ij}^l(k) = \alpha_{ij} \epsilon^{2/3} k^{-5/3}. \quad (11)$$

Для изотропных течений  $\alpha_{ij} = \alpha \approx 0.5$  [10]. В области сравнительно низких частот энергетическая оценка может быть выполнена в соответствии с (гиперболическим) законом «-1» [10]:

$$E_{ij}^G(k) = G_{ij} u_{\tau}^2 k^{-1}, \quad (12)$$

где  $k$  - волновое число;  $G_{ij}$  - универсальные постоянные:  $G_{13} = G_{23} = 0$ ,  $G_{11} = 0,8$ ,  $G_{22} = 0,4$ ,  $G_{33} = 0,5$ .

В качестве границы инерциального диапазона (масштаба) в [9] рекомендовано

$$L_{DI} \sim 60 \eta. \quad (13)$$

Отсюда можно определить верхнюю частотную границу инерциального диапазона

$$f_{DI} \sim \frac{V_{\infty}}{L} \frac{c_f^{3/8} Re^{3/4}}{120(2\kappa^2)^{1/8}}. \quad (14)$$

Из (9) и (14) следует также

$$f_{\eta} \sim \frac{V_{\infty}}{L} \frac{c_f^{3/8} Re^{3/4}}{2(2\kappa^2)^{1/8}}. \quad (15)$$

Оценку характерной частоты  $f_{GI}$ , для каждой компоненты  $u_i$  вектора скорости течения можно получить сопоставляя (11) и (12) на границе между двумя областями:

$$E_{ii}^G(k) = E_{ii}^I(k). \quad (16)$$

После подстановки (10) и (12) в (16) и преобразований получается

$$f_{GI \ ii} \sim \frac{V_{\infty} \alpha^{3/2}}{2\pi \kappa L (G_{ii})^{3/2}}. \quad (17)$$

В частности, для  $G_{22} = 0.4$  и  $\alpha = 0.5$  и выражение (17) примет вид

$$f_{GI \ 22} \sim \frac{0.7 V_{\infty}}{\pi \kappa L}.$$

По результатам моделирования при периодических граничных условиях ( $St = 0.255$ )  $c_{f_{max}} = 0.092$  и для приближенной оценки характерных частот получим:

$$\frac{f_{\eta_{max}}}{f_K} \sim 907; \quad \frac{f_{DI_{max}}}{f_K} \sim 15.14; \quad \frac{f_{GI}}{f_K} \sim 4.26.$$

На рис. 1 в логарифмическом масштабе представлены распределения

$$\overline{ESD}(\bar{f}) = \frac{ESD(\bar{f})}{V_{\infty}^2}, \quad \overline{ESS}(\bar{f}) = \frac{ESS(\bar{f})}{V_{\infty}^2}, \quad \text{где } \bar{f} = \frac{f}{f_K}.$$

Обе спектральные характеристики  $\overline{ESS}(\bar{f})$  (верхняя спектральная кривая) и  $\overline{ESD}(\bar{f})$  (нижняя кривая) имеют отрицательный градиент в области  $f_{GI} < \bar{f} < f_{DI}$ . Распределение  $\overline{ESS}(\bar{f})$  лучше согласуется с законом «-5/3» (тонкая непрерывная прямая в верхней части рисунка), в сравнении с распределением  $\overline{ESD}(\bar{f})$ . Для дистанций, не превышающих  $12d$ , на участке  $2f_K < \bar{f} < f_{GI}$  наблюдается градиент наклона спектральной линии  $\overline{ESS}(\bar{f})$ , близкий к закону «-1» (тонкая пунктирная прямая в верхней части рисунка).

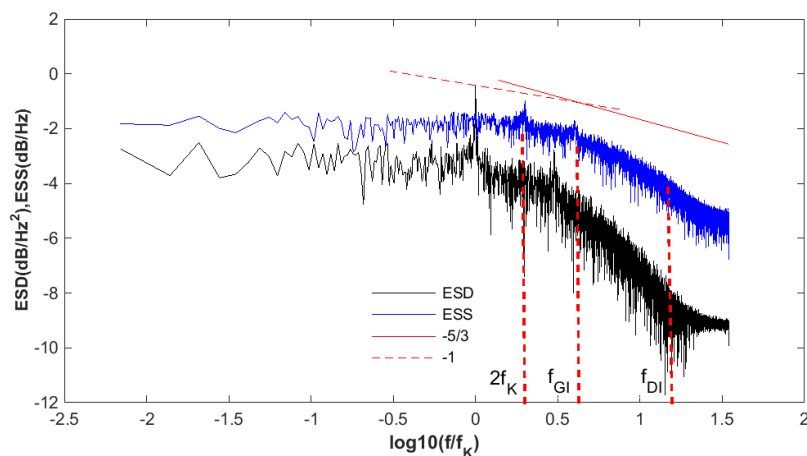


Рис. 1. Спектральные характеристики скорости  $v$  в точке  $x = 3.5d$  на осевой линии

Работа выполнена при поддержке гранта Минобрнауки России Рег. номер НИОКТР АААА-А20-120102190039-6.

### Библиографический список

1. Dong, S. A combined direct numerical simulation–particle image velocimetry study of the turbulent near wake / S. Dong, G. E. Karniadakis, A. Ekmekci and D. Rockwell // *J. Fluid Mech.* – 2006. – V. 569. Pp. 185-207.
2. Wissink, J.G. Numerical study of the near wake of a circular cylinder / J.G. Wissink, W. Rodi // *International Journal of Heat and Fluid Flow.* – 2008. – V. 29. N4. Pp. 1060-1070.
3. Kravchenko, A.G. Numerical studies of flow over a circular cylinder at  $Re_D = 3900$  / A.G. Kravchenko, P. Moin // *Phys Fluids.* – 2000. – V. 12. N 2. Pp. 403-417.
4. Parnaudeau, P. Experimental and numerical studies of the flow over a circular cylinder at Reynolds number 3900 / P. Parnaudeau, J. Carlier, D. Heitz, and E. Lamballais // *Physics of Fluid.* – 2008. – V. 20. 085101.
5. Rajani, B. N. LES of Flow past Circular Cylinder at  $Re = 3900$  / B. N. Rajani, A. Kandasamy and S. Majumdar // *Journal of Applied Fluid Mechanics.* – 2016. – V. 9. N. 3. Pp. 1421-1435.
6. Durran, D. Practical Considerations for Computing Dimensional Spectra from Gridded Data / D. Durran, J. A. Weyn and N. Q. Menchaca // *Monthly Weather Review.* – 2017. – V. 145. N 9. Pp. 3901-3910.
7. Millers, S. Probability and random processes / S. Millers, D. Childers. – Waltham, MA : Academic Press, 2012. Pp. 473-515.
8. Lathi, B. P. Modern digital and analog communication systems / B. P. Lathi, Z. Ding. – Oxford university press, 2019. 993 p.
9. Pope, S.B. Turbulent Flows / S.B. Pope. – Cambridge University Press, 2000. 749 p.
10. Кадер, Б.А. Спектры анизотропных турбулентных пульсаций скорости и температуры в пристеночных турбулентных потоках / Б.А. Кадер, А.М. Яглом // *Сб.: Проблемы турбулентных течений.* – М.: Наука, 1987. – С. 65-74.